

جغرافیا و آمایش شهری - منطقه‌ای، شماره ۲۱ ، زمستان ۹۵

وصول مقاله : ۹۵/۳/۲۹

تأثیرگذاری : ۹۵/۹/۲۱

صفحات : ۲۰۳ - ۲۱۴

## تحلیل فضایی روابط الگوهای پیوند از دور با دمای ماهانه شمال غرب ایران

دکتر محمود خسروی<sup>۱</sup>، ابراهیم مسگری<sup>۲</sup>

چکیده

در این پژوهش، با هدف آشکارسازی روابط الگوهای پیوند از دور با دمای ماهانه، رابطه بین دماهای ماهانه ۲۴ ایستگاه سینوپتیک شمال غرب ایران با هفده الگوی پیوند از دور با استفاده از تحلیل همبستگی پیرسون و مدل رگرسیون گام به گام در دوره آماری (۱۹۹۲-۲۰۱۱) برای سنجش روابط استفاده شد و در نهایت، توزیع فضایی میزان همبستگی الگوها با ایستگاههای مورد مطالعه در محیط GIS با روش درون‌یابی کریجینگ بهنه‌بندی و ترسیم گردید. نتایج این پژوهش نشان داد که ارتباط معنی داری بین الگوهای دمای منطقه وجود دارد که در این بین، الگوهای پیوند از دور معنی‌دار، مربوط به ایستگاه سردشت در تأثیرهای زمانی ۱ ماهه، ۲ ماهه و ۳ ماهه، بیشترین همبستگی متعلق به تأثیر زمانی ۱ ماهه بوده و قوی‌ترین ارتباط معنی‌دار، مربوط به ایستگاه سردشت در فوریه با ضریب همبستگی ۰/۷۷۱- با الگوی EA/WR است. کلید واژگان: الگوهای پیوند از دور، دما، شمال غرب ایران، همبستگی پیرسون.

پژوهشگاه علوم انسانی و مطالعات فرهنگی  
پرستال جامع علوم انسانی

## مقدمه

مطالعه‌ای نشان دادند که یک همبستگی منفی بین تغییرات شاخص نوسان اطلس شمالی و بارش فصل زمستان ترکیه وجود دارد؛ به طوری که فاز منفی الگوی NAO توأم با افزایش بارش زمستانه و کاهش دما و فاز مثبت آن، موجب کاهش بارش و افزایش دما و ظهور خشکسالی زمستانی در سراسر ترکیه شده است. جوانویچ و همکاران<sup>۸</sup> (۱۳۰۷: ۲۰۰۸) در تحقیق خود با عنوان اثر نوسان اطلس شمالی (NAO) و نوسان قطبی (AO) بر روی رژیم بارش در صربستان، همبستگی بین داده‌های روزانه بارش در ایستگاههای صربستان و شاخص‌های روزانه NAO و AO در طی دوره ۱۹۵۱-۲۰۰۳ را مورد ارزیابی قرار دادند؛ سپس ضریب همبستگی بین بارش روزانه و شاخص‌های روزانه NAO و AO را به دست آورده‌اند و به نتیجه رسیدند که مقادیر شاخص‌ها برای بارش‌های حداکثر روزانه بین ۰/۳۸-۰/۴۴ تا است، بعد از آن، تحلیل روند را برای دو دوره ۱۹۶۱-۲۰۰۶ و ۱۹۸۱-۲۰۰۶ برای همه سال‌ها و در طول ماههای زمستان در ۲۱ ایستگاه در سیبری انجام داده و یک روند بسیار مثبت را برای بارش در همه قسمت‌های سیبری به دست آورده‌اند. گنگ<sup>۹</sup> و همکارانش (۵۲۹۴: ۲۰۱۰) در طی یک پژوهش نشان دادند که همبستگی بین ناهنجاری‌های اقلیمی شمال غرب اقیانوس آرام و نوسان جنوبی-الینیو (ENSO) در طی تابستان در اواسط دهه ۱۹۷۰ در زمستان قبلی تقویت گشته و افزایش یافته است. این محققان، این فرضیه را نیز بررسی نمودند که پاسخ بخش حاره‌ای اقیانوس هند به ENSO، کلیدی برای این تغییرات بین دهه‌ای است. چادری و همکاران<sup>۱۰</sup> (۲۰۱۲: ۱۷۲۲)، طی مطالعات خود، تغییرپذیری و نوسان کند سالانه شاخص الینیو-نوسان جنوبی (انسو) را طی سال‌های ۱۸۷۰-۲۰۰۷ با استفاده از مشاهدات هواشناسی در سطح دریا در امتداد مسیر بخش شمالی اقیانوس هند (از خلیج عدن از طرق تنگه ملاکا) و بخش جنوبی دریای چین (به تنگه لوزون) بررسی کردند. براساس نتایج

از کاربردهای روش همبستگی در اقلیم‌شناسی، کشف ارتباط و پیوند بین الگوهای و سامانه‌های جوی با عناصر و پدیده‌های مکان‌های دوردست‌تر است (صلاحی و همکاران، ۱۳۸۶: ۱۴۷). رابطه و همبستگی‌های همزمان معنی‌دار بین نوسانات عناصر اقلیمی یک مکان، با تغییرات الگوهای فشار و درجه حرارت سطح دریا در نقاط جغرافیایی دیگر را پیوند از دور می‌نامند (والاس و گوازلر<sup>۳</sup>، ۱۹۸۱: ۷۸۴). دما یکی از عناصر بسیار حساس از نظر تأثیرپذیری از سایر عوامل تأثیرگذار محیطی واقعی است. الگوهای فشار بیش از سایر عوامل بر روی دما تأثیرگذار هستند (علیجانی، ۱۳۸۱: ۱۰). الگوهای ارتباط از دور جهت پیش‌بینی میانگین شرایط هوایی، طی دوره‌های زمانی معمولاً چندین ماهه یا سالانه مورد استفاده قرار می‌گیرد. این الگوها اجازه پیش‌بینی تا افق‌های زمانی دورتر را می‌دهد؛ زیرا متکی به سیکلهای طولانی ناهنجاری دمای سطحی آب دریا (SST) است (نیکولس و کادتن<sup>۴</sup>، ۱۹۹۱: ۹۷۳). همچنین، الگوهای پیوند از دور، منعکس‌کننده تغییرات در مقیاس وسیع در امواج اتمسفری و موقعیت رودبادها بوده و بر درجه حرارت، بارش، مسیر طوفان‌ها و موقعیت و شدت رودبادها بر روی مناطق وسیع تأثیر می‌گذارند (خسروی، ۱۳۸۳: ۱۹). اثر پیوند از دور بر اقلیم سطح زمین به طور گسترده از طریق پاسخ در میانگین ماهانه دما یا بارش کل مورد بررسی قرار گرفته است (شریدان<sup>۵</sup>: ۲۰۰۳، ۲۰۰۴). اخیراً در این جهت، توجیه رفتار اقلیم براساس سازوکارهای الگوهای ارتباط از دور، مورد توجه محققان قرار گرفته است (یاراحمدی، ۱۳۸۶: ۱۶۱). سینیتا<sup>۶</sup> (۲۰۰۳: ۱۱۸۵) ارتباط بارش‌های زمستانی اروپای شمالی با نوسانات دمایی و فشار سطح دریا را مورد بررسی قرار داده و ارتباط قوی بین NAO و عناصر اقلیمی اروپای شمالی به‌ویژه با بارش و دما پیدا کرده است. تورکس و ارلات<sup>۷</sup> (۲۰۰۵: ۳۳)، طی

<sup>۳</sup>. Wallace and Guzzler

<sup>۴</sup>. Nicholls and Katz

<sup>۵</sup>. Sheridan

<sup>۶</sup>. Cintia

<sup>۷</sup>. Turkes, and Erlat

<sup>۸</sup>. Jovanovich et al.

<sup>۹</sup>. Gang et al.

<sup>۱۰</sup>. Chowdary et al.

مشهد مورد بررسی قرار داده و به این نتیجه رسیده‌اند که در فازهای منفی و مثبت، همبستگی بیشتری بین نوسانات دما و NAO دیده می‌شود؛ اما در فازهای خنثی همبستگی آنها ضعیف و بی‌معنی است. مطالعه جامعی که در خصوص تغییرات ناشی از NAO انجام گرفته است، نشان می‌دهد که غالباً در فازهای منفی NAO در کشورهای اطراف مدیترانه (مشتمل بر بخش‌های غرب و شمال غرب ایران)، بارش افزایش می‌یابد؛ اما در این خصوص، یک استثنای وجود دارد و آن وقوع پدیده بلوکینگ است که مانع و اخلالی برای مقدار مورد انتظار بارش در هر دو فاز است. خسروی (۱۳۸۳: ۱۶۷) و (۱۳۸۴: ۱۶) اثر الگوهای دورپیوند بر خشکسالی‌های فرآگیر سالانه و زمستانه استان سیستان و بلوچستان را بررسی نموده است. در این پژوهش، شاخص‌های دورپیوند فعل نیمکره شمالی در فصل زمستان و همچنین شاخص چند متغیره انسو (MEI) با شاخص (SPI) مقایسه گردید. با استفاده از آزمونهای همبستگی و مدل‌های رگرسیونی چندمتغیره گام به گام و عقب رو مشخص گردید، این الگوها در مجموع ۵۵ درصد از تغییرات شاخص (SPI) را تبیین می‌نمایند و الگوی اسکاندیناوی که معنی دارترین همبستگی را با شاخص (SPI) دارد، به عنوان مؤثرترین الگوی تبیین کننده شدت خشکسالی تعیین شد. در مقیاس سالانه نیز بر اساس معادلات رگرسیون گام به گام و حذف الگوهایی که نقش کمتری در توجیه تغییرات این الگوها داشته‌اند، مؤثرترین الگوها بر شدت خشکسالی استان سیستان و بلوچستان مشخص گردید و همچنین تاثیر الگوها بر تغییر شدت خشکسالی و کاهش بارش بر اساس نتایج مدل‌ها برآورد شده است. برای مثال به ازای هر واحد افزایش در الگوهای MEI و NOI به ترتیب ۲۶ و ۱۲/۳ درصد بر شدت خشکسالی افزوده می‌شود و به ازای افزایش هر واحد الگوهای PDO، NP، POL، و استخر گرم نیمکره غربی (WHWP) نیز به ترتیب ۳۲/۵، ۲۴، ۱۶/۶ و ۷ درصد بر شدت خشکسالی سالانه افزوده می‌شود. خوش‌اخلاق و همکاران (۱۳۸۶: ۵۷)، تأثیر نوسانات اطلس شمالی بر رژیم بارش و دمای سواحل جنوبی دریای خزر را بررسی کردند. در این پژوهش، با استفاده از آزمون

مطالعات این محققان، بخش شمالی اقیانوس هند بر اثر النینو در اوایل قرن نوزده و اوایل و اواخر قرن بیستم گرمتر از فاصله سال‌های ۱۹۷۰ تا ۱۹۱۰ بوده و اوج گرما در تابستان مشاهده شده است. همچنین، گرمای ناشی از النینو و بارش و فشار سطح دریا در بخش شمالی اقیانوس هند هنگام تابستان به سمت شمال غربی استوایی اقیانوس آرام افزایش می‌یابد. در یک پژوهش، جامع بر روی فرین‌های دمایی تابستانه نیمکره شمالی یافته‌ها نشان داد که طی دوره ۱۹۴۸-۲۰۰۶ بسامد رخداد فرین‌های سرد (از جمله روزهای یخی و روزهای همراه با یخ‌بندان) کاهش معناداری را طی دوره واکاوی تجربه کرده‌اند (فانگ و همکاران<sup>۱۱</sup>: ۶۸-۲۰۰۸). یوین و همکاران<sup>۱۲</sup> (۲۰۱۴: ۲۸۱۷) بر روی الگوهای سه‌گانه اروپایی- آسیایی پیوند از دور بررسی نمودند و به این نتیجه رسیدند که الگوی اروپایی-آسیایی (EU) یک الگوی پیوند از دور، مجزای مشاهده شده در زمستان شمالی است. مطالعات آنها نشان داد که الگوهای EU به وسیله یک ساختار باروتروپیک قطاری‌شکل مشخص می‌شود که هر کدام منبع و مرکز فعالیت جداگانه دارند. همچنین، اثر هر کدام بر بارش و دمای سطحی از دیگری متفاوت است. آنها همچنین این احتمال را دادند که الگوهای اروپایی- آسیایی به وسیله ناهنجاری‌های دمای سطح دریا (SST) بر روی اقیانوس اطلس شمالی هدایت می‌شوند. بوخاریو و جیمنو (۲۰۰۴)، تریگو و همکاران (۲۰۰۵) و لیند و همکاران (۲۰۰۷) نیز ارتباط بین الگوهای پیوند از دور با عناصر مختلف اقلیمی را در مناطق مختلف جغرافیایی مورد مطالعه قرار دادند. توجیه رفتار اقلیم براساس سازوکارهای الگوهای ارتباط از دور، در ایران نیز مورد توجه محققان قرار گرفته است. غیور و عساکر (۱۳۸۱: ۹۳)، اثرات پدیده‌های NAO و انسو بر تغییرات ماهانه دمای جاسک را با استفاده از تحلیل سری‌های زمانی، مورد مطالعه قرار داده و به این نتیجه رسیدند که ۴۰ درصد نوسانات دمایی جاسک، متأثر از پدیده‌های NAO و انسو است. قائمی و عساکر (۱۳۸۲: ۱۱۶) نقش NAO را در تغییرپذیری دمای ایستگاه

<sup>۱۱</sup>. Fang et al.<sup>۱۲</sup>. Yuyun et al.

داده‌های استاندارد شده شاخص‌های پیوند از دور مربوط در همان دوره آماری، از سایت مرکز پیش‌بینی اقلیم وابسته به سازمان پژوهش‌های جوی و اقیانوسی ایالت متحده گرفته شد.

در این پژوهش، داده‌های ۱۷ الگوی ارتباط از دور در قالب‌های مقایسه (مستقیم، تأخیر زمانی ۱ ماهه، ۲ ماهه و ۳ ماهه) با داده‌های اقلیمی ۲۴ ایستگاه شمال غرب ایران بعد از استانداردسازی براساس روش همبستگی پیرسون تحلیل گردید (جدول ۱).

جدول ۱. الگوهای پیوند از دور مورد مطالعه در این پژوهش

۱. شاخص چند متغیره انسو (MEI)
۲. الگوی اطلس شرقی (EA)
۳. الگوی آرام غربی (WP)
۴. الگوی اطلس شرقی/روسیه غربی (EA / WR)
۵. نوسان اطلس شمالی (NAO)
۶. الگوی حاره‌ای، نیمکره شمالی (TNH)
۷. الگوی شاخص نوسان شمالی (NOI)
۸. الگوی حاره‌ای اطلس شمالی (TNA)
۹. الگوی حاره‌ای جنوب اقیانوس اطلس (TSA)
۱۰. الگوی قطب شمال (AO)
۱۱. الگوی آرام / آمریکای شمالی (PNA)
۱۲. الگوی آرام شرقی-آرام شمالی (EP/NP)
۱۳. الگوی نوسانات دهه‌ای اقیانوس آرام (PDO)
۱۴. الگوی قطبی، اوراسیا (P/E) یا (POL)
۱۵. الگوی نوسان جنوبی (SOI)
۱۶. الگوی اسکاندیناوی (SCA)
۱۷. الگوی انقلالی نیتو (TNI)

(منبع: نگارندگان)

بسیاری از این الگوها در چند ساله اخیر کشف و معرفی گردیده‌اند و این نوع مطالعات در سطح جهانی نیز در مراحل اولیه سیر تکاملی خود است. نگارندگان در این پژوهش در پی یافتن رابطه‌ای بین این الگوها با دمای ماهانه استان‌های آذربایجان غربی، آذربایجان شرقی، زنجان، اردبیل و کردستان هستند (جدول شماره ۲) و (شکل شماره ۱).

همبستگی مشخص شد که فاز مثبت NAO با دوره‌های افزایش بارش و کاهش دما و فاز منفی شاخص مزبور با دوره‌های کاهش بارش و افزایش نسبی دما همزمان است. خسروی و همکاران (۱۳۸۶: ۱۲۵) ارتباط شاخص نوسان قطبی با نوسان‌های دمایی ایران را در ایستگاه شهرکرد مورد مطالعه قرار داده و به این نتیجه رسیده‌اند که یک پیوند معکوس بین شاخص نوسان قطبی و دمایی حداقل شهرکرد با ضریب همبستگی (۰/۴۶-) وجود دارد و بین میانگین سالانه این شاخص با دمای حداکثر، متوسط سالیانه دما و متوسط سالیانه فشار شهرکرد نیز ارتباط وجود دارد. پژوهشگران سازمان جو و اقیانوس‌شناسی ایالت متحده در نیمکره شمالی ۱۴ الگوی پیوند از دور تشخیص داده‌اند که در نواحی برون‌حاره و در طول سال فعال‌اند. بعضی از این الگوها تنها در برخی از ماه‌ها فعال‌اند و در ماه‌های دیگر یا غیرفعال بوده و یا از فعالیت آنها کم می‌شود. هر یک از الگوهای موردنظر بر بخش‌هایی از سیاره اثر می‌گذارند. همچنین، نظام السادات و همکاران (۱۳۸۶: ۱۲) ارتباط معنی‌دار بین فازهای تابستانه پدیده انسو و ترسالی و خشکسالی دوره سرد سال را تأیید نموده‌اند. خورشیددوست و همکاران (۱۳۸۹) با بررسی روابط الگوهای کلان‌مقیاس با نوسانات بارش اهر رابطه معنی‌داری بین ترسالی و خشکسالی‌های منطقه و پدیده‌های ال نینو و لایینا را مورد تأیید قرار دادند (خورشیددوست و همکاران، ۹۵: ۱۳۸۹).

با توجه به اهمیت الگوهای پیوند از دور و ارتباط آنها با پارامترهای اقلیمی در ایران و در نظر گرفتن مطالعات صورت گرفته، در این پژوهش به بررسی دمایی ماهانه ایستگاههای شمال غرب ایران پرداخته شده و ارتباط آنها با هفده شاخص، مورد تحلیل و بررسی قرار گرفته است.

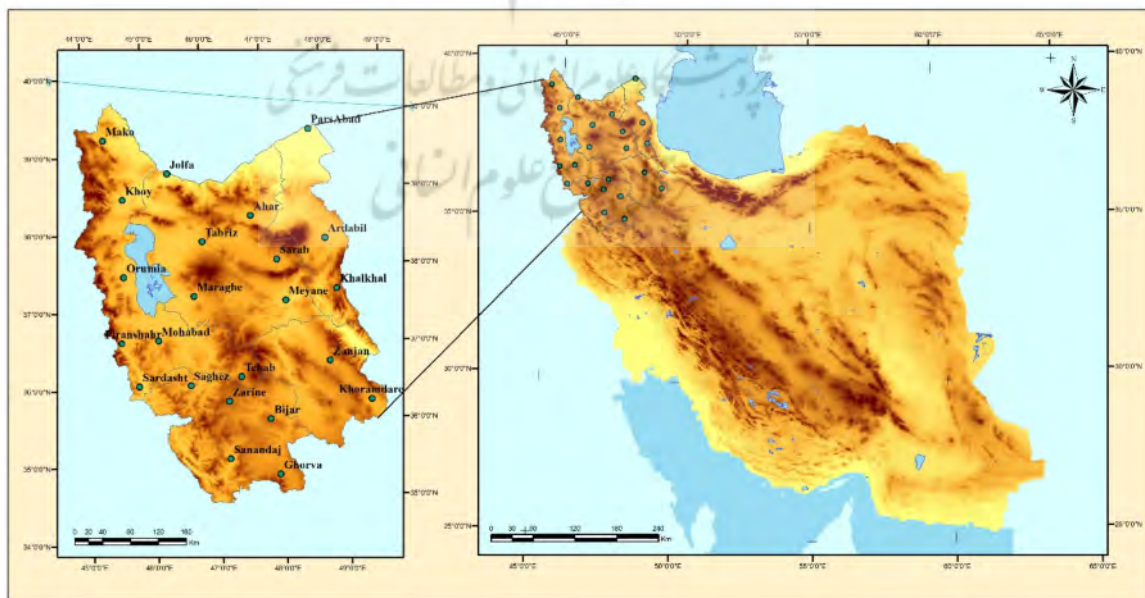
## داده‌ها و روش‌ها

برای بررسی رابطه الگوهای پیوند از دور با دمای ایران، از تحلیل همبستگی و مدل رگرسیون گام به گام استفاده شده است. داده‌های دمای میانگین ماهانه ۲۴ ایستگاه سینوپتیک ایران در بازه زمانی (۱۹۹۲-۲۰۱۱)، از تارنمای سازمان هواشناسی کشور (Irmo.ir) گردآوری شدند.

## جدول ۲. مشخصات ایستگاههای مورد مطالعه

ایستگاه	طول جغرافیابی (دقیقه)	عرض جغرافیابی (دقیقه)	ارتفاع (متر)
اهر	۴۷ درجه ۴۰ دقیقه	۳۶ درجه ۳۶ دقیقه	۱۳۶۰
جلفا	۴۵ دقیقه	۴۵ درجه ۴۰ دقیقه	۷۳۶
مراغه	۴۶ دقیقه	۲۳ درجه ۳۷ دقیقه	۱۴۴۷
میانه	۴۷ دقیقه	۲۷ درجه ۳۷ دقیقه	۱۱۱۰
سراب	۴۷ دقیقه	۳۷ درجه ۵۶ دقیقه	۱۶۸۲
تبریز	۴۷ دقیقه	۳۸ درجه ۵۰ دقیقه	۱۳۶۰
خوی	۴۴ دقیقه	۵۵ درجه ۳۸ دقیقه	۱۱۴۸
مهاباد	۴۵ دقیقه	۳۶ درجه ۷۴ دقیقه	۱۳۲۰
ماکو	۴۴ دقیقه	۲۸ درجه ۳۹ دقیقه	۱۱۸۲
ارومیه	۴۵ دقیقه	۳۷ درجه ۳۳ دقیقه	۱۳۳۲
پرانتشهر	۴۵ دقیقه	۳۶ درجه ۶۹ دقیقه	۱۵۰۲
سردشت	۴۵ دقیقه	۲۵ درجه ۴۳ دقیقه	۱۴۸۰
زنجان	۴۸ دقیقه	۳۶ درجه ۶۶ دقیقه	۱۶۶۳
خرمده	۴۹ دقیقه	۲۵ درجه ۳۶ دقیقه	۱۵۷۰
خدابند	۳۸ دقیقه	۷ درجه ۳۶ دقیقه	۱۳۵۰
اردبیل	۴۸ دقیقه	۳۸ درجه ۲۵ دقیقه	۱۳۵۰
خلخال	۴۸ دقیقه	۳۷ درجه و ۳۷ دقیقه	۱۸۴۳
پارس آباد	۴۹ دقیقه	۴۲ درجه ۴۷ دقیقه	۳۲
سنندج	۴۶ دقیقه	۳۱ درجه ۳۵ دقیقه	۱۵۳۷
سقز	۴۶ دقیقه	۲۴ درجه ۳۶ دقیقه	۱۴۷۶
زرینه	۴۷ دقیقه	۰۵ درجه ۴۰ دقیقه	۲۱۴۰
قروه	۴۷ دقیقه	۱۵ درجه ۳۵ دقیقه	۱۹۰۰
مریوان	۴۶ دقیقه	۳۱ درجه ۳۵ دقیقه	۱۲۸۶،۸
تکاب	۴۷ دقیقه	۴۰ درجه ۳۶ دقیقه	۱۷۶۵

(منبع: نگارندگان)



شکل ۱. نقشهٔ پراکندگی ایستگاههای شمال غرب ایران

(منبع: نگارندگان)

سطح معنی داری و همبستگی الگوی EPNP به کمترین حد ممکن رسیده است. در این تأخیر زمانی نیز شدت گرفتن و افزایش سطح معنی داری الگوی AO مشاهده می شود که در مواردی، از سطح معنی داری الگوهای دیگر نیز بالاتر می رود. در کل باید گفت، مؤثرترین الگو در بین الگوها که بیشترین سطح معنی دار را با دمای منطقه از خود نشان داده است، الگوی EAWR و کم تأثیرگذارترین الگو در بین الگوها نیز الگوی PT است.

۴- جدول شماره ۳ همبستگی بین ایستگاههای منطقه مورد مطالعه با الگوی پیوند از دور EAWR را نشان می دهد. نتایج این جدول بیانگر این مطلب است که بین دمای ایستگاههای خوی، ماکو، ارومیه، اهر، جلفا، میانه، اردبیل، بیجار، قزوین، خرمدرا، مهاباد، پیرانشهر، مراغه، سراب، تبریز، خلخال، پارس آباد، سقز، سنندج، زرینه، زنجان و الگوی EA/WR ارتباط معنی داری در سطح اطمینان ۰/۰۵ و ۰/۰۱ درصد در یک یا ۴ ماه از سال وجود دارد؛ اما در ماههای ژانویه، آوریل، اکتبر، نوامبر و دسامبر هیچ گونه ارتباط معنی داری دیده نشد. قوی ترین ارتباط معنی دار مربوط به ایستگاه سردشت در ماه فوریه با ضریب همبستگی ۰/۷۷۱ و ضعیف ترین ارتباط معنی داری با الگوی مربوط، متعلق به ایستگاه مهاباد، تبریز و پارس آباد به ترتیب در ماههای فوریه و سپتامبر با ضریب همبستگی مشابه ۰/۴۴۵ است. همان طور که در شکل شماره ۲ مشاهده می شود، جهت همبستگی ایستگاهها با الگوی EA/WR به صورت معکوس و منفی است.

سپس داده ها در محیط نرم افزار آماری SPSS تجزیه و تحلیل شدند. پس از تحلیل توصیفی داده ها، با استفاده از روش همبستگی آماری پیرسون، ارتباط بین میانگین دمای ماهانه و سالانه ایستگاههای مذکور با هفده شاخص مختلف پیوند از دور، مورد تجزیه و تحلیل قرار گرفت و در نهایت، مؤثر ترین الگوهای معنی دار شناسایی شد.

## نتایج و بحث

در این نوشتار، همبستگی دما با ۱۷ شاخص پیوند از دور مورد بررسی قرار گرفت و فرض وجود رابطه معنی دار بین دمای شمال غرب ایران و هر یک از شاخص ها بررسی شد و نتایج زیر به دست آمد:

- ۱- در بین الگوهای ارتباط از دور با تأخیر زمانی ۱ ماهه، الگوهای SCA و PT تقریباً کمترین همبستگی و الگوهای MEI، EAWR، EPNP بیشترین همبستگی را با دمای ماهانه ایستگاههای منطقه مورد مطالعه داشته اند.
- ۲- در بین الگوهای ارتباط از دور با تأخیر زمانی ۲ ماهه، مؤثر ترین الگوها بر شمال غرب ایران الگوهای EAWR، SOI، MEI هستند که در مواردی، الگوهای دیگری همچون EPNP، PNA و الگوهای SCA و PT کمترین تأثیر معنی دار را در بین الگوها دارا بودند.

- ۳- در بین الگوهای ارتباط از دور با تأخیر ۳ ماهه، با دمای ماهانه منطقه مورد مطالعه، مشاهده می شود که الگوهای POL، SOI، MEI، EAWR، AO در این تأخیر زمانی نیز در بعضی از ایستگاهها نسبت به سایر الگوها همبستگی معنی دار پیشتری کسب کرده است. الگوهای SCA و PT کم تأثیرگذار ترین الگو نسبت به سایر الگوها تعیین گردید. نکته قابل توجه در همبستگی با تأخیر زمانی این است که قدرت و توان الگوی NAO و MEI، AO متغیر بوده و بعضی میزان معنی داری این الگوها کاهش یا افزایش پیدا می کرد؛ همچنین، ضعف الگوی EPNP در تأخیر زمانی دو ماهه مشاهده می شود که این ضعف با تقویت الگوهای EI، NP در منطقه همراه است. در تأخیر زمانی سه ماهه،

جدول ۳. ضرایب همیستگی الگوی پیوند از دور EAWR با دمای ماهانه شمال غرب ایران (منبع نگارندگان)

ایستگاه سقز در ماه می با ضریب همبستگی  $-0.758$  و ضعیف ترین ارتباط معنی داری با الگوی مربوط متعلق به ایستگاه ارومیه و سردشت به ترتیب در ماههای ژوئن و دسامبر با ضریب همبستگی مشابه  $-0.446$  است. همان طور که در شکل شماره ۲ مشاهده می شود، همبستگی ایستگاهها با الگوی MEI به صورت منفی است.

۵- با توجه به مقدایر به دست آمده (جدول ۴) مشاهده می شود، کلیه ایستگاهها در یک تا ۵ ماه، ارتباط معنی داری در سطح اطمینان ۰/۰۵ و ۰/۰۱ درصد از خود نشان دادند. در ماههای ژانویه، فوریه، مارس، آوریل، اکتبر و در ماه نوامبر به غیر از ایستگاه سردشت هیچ گونه ارتباط معنی داری بین الگوی MEI و ایستگاههای مورد مطالعه مشاهده نگردید و قویی ترین ارتباط معنی داری مربوط به

جدول ۴. ضرایب همبستگی الگوی پیوند از دور MEI با دمای ماهانه شمال غرب ایران (منبع نگارندگان)

تیریز	سراب	میانه	مراغه	جلفا	اهر	تکاب	سردشت	پیرانشهر	ارومیه	ماکو	مهاباد	خوی	M
۰۷۸...	۰۹۱...	۱۳۱...	۰۲۵...	۰۲۴...	۰۳۷...	۰۲۶...	۱۴۴...	۰۲۹...	۰۶۶...	۰۵۳...	۰۳۸...	۰۲۱...	۱
۲۴۱...	۱۵۴...	۳۱۵...	۲۴۳...	۲۶۳...	۲۲۳...	۲۷۲...	۴۰۶...	۲۱۷...	۲۱۲...	۲۹۸...	۲۳۵...	۲۳۸...	۲
۲۴۱...	۲۱۴...	۳۴۱...	۲۷۷...	۲۸۱...	۲۲۹...	۳۸۷...	۳۱۴...	۲۸۴...	۲۶۹...	۲۹...	۲۴۶...	۲۴۶...	۳
۳۱۸...	۲۷۷...	۲۰۳...	۳۷۴...	۲۴۳...	۱۸۸...	۲۸۶...	۳۵۹...	۳۹۴...	۳۱۶...	۱۵۰...	۳۸۳...	۱۹۸...	۴
**۵۷۲...	**۵۷۲...	۰۵۰...	۶۳۱...	۴۰۴...	۴۰۴...	۵۵۹...	**۶۱...	**۶۶۱...	۰۵۵...	۳۵...	**۶۹۹...	۰۵۱۵...	۵
۲۴۸...	۱۰۹...	۱۳۱...	۳۵۲...	۲۱۲...	۱۵۱...	۰۵۰...	۳۶۶...	۳۵۹...	۲۷۸...	۲۲۷...	۴۴...	۳۱۷...	۶
۳۷۳...	۲۵۴...	-۰۲۹...	۴۷۷...	۴۶۴...	۳۶...	۰۵۰...	۵۱۱...	۵۴۰...	۴۴۶...	۴۸۲...	۴۹۸...	۵۲۵...	۷
۲۹۱...	۲۱۴...	-۰۳۶...	۳۳۴...	۲۵۹...	۳۰۶...	۱۴۷...	۳۳۳...	۴۰۷...	۳۰۴...	۲۲۹...	۳۶۱...	۳۳۴...	۸
**۵۵۰...	**۴۹۰...	**۴۵۶...	*۵۶۱...	۴۰۸...	*۴۹۳...	**۶۵۸...	**۵۶۲...	۴۱۴...	*۴۶۴...	*۴۸۹...	*۵۱۵...	*۵۱۴...	۹
-۰۷۶...	-۰۶۷...	-۰۵۴...	-۰۷۱...	۱۲۱...	۱۷۵...	۲۳۳...	۱۷۳...	۱۵۶...	۱۰۷...	۱۷۴...	-۰۵۹...	-۰۵۲...	۱۰
-۰۹۴...	-۰۱۸...	۱۳۵...	۱۷۳...	-۰۸۸...	-۰۱۰...	-۰۳۴...	*۴۴۶...	۲۴۴...	-۰۲۳...	۲۳۵...	۱۳۲...	۱۳۹...	۱۱
۳۸۸...	۳۱۴...	۳۴۸...	۴۲۶...	۴۲۴...	*۴۵۶...	۳۵...	**۵۶۶...	*۴۷۹...	۳۴۲...	*۵۱۷...	۳۹۳...	۴۲۴...	۱۲
	خداپنده	خرمده	زنجان	زرینه	سنندج	سقز	مریوان	قروه	بیجار	پارس	خلال	اردبیل	M
	۲۳۰...	-۰۲۲...	-۰۱...	-۰۳۶...	۱۱۳...	۱۵۰...	-۰۸۱...	۱۳...	۱۵...	۲۳۵...	-۰۵۳...	۱۵۴...	۱

۰۸۲۰۰	۲۹۷۰۰	۲۹۳۰۰	۱۷۴۰۰	۱۶۸۰۰	۱۸۴۰۰	۱۵۹۰۰	۲۴۶۰۰	۱۶۷۰۰	۲۲۹۰۰	۲۹۹۰۰	۲۳۳۰۰	۲
۱۷۵۰۰	۳۲۰۰۰	۳۲۴۰۰	۲۷۷۰۰	۲۹۳۰۰	۲۷۲۰۰	۳۰۳۰۰	۳۵۴۰۰	۲۲۲۰۰	۱۳۶۰۰	۲۶۴۰۰	۱۹۶۰۰	۳
۰۷۷۰۰	۲۱۳۰۰	۳۰۳۰۰	۱۲۳۰۰	۲۵۱۰۰	۳۱۴۰۰	۱۲۱۰۰	۱۷۳۰۰	۱۹۴۰۰	۰۵۱۰۰	۲۶۴۰۰	۲۱۰۰۰	۴
۳۰۴۰۰	۵۵۴۰۰	۷۱۸۰۰	۳۴۳۰۰	۶۲۹۰۰	۷۵۸۰۰	۰۸۴۰۰	۴۴۷۰۰	۵۱۹۰۰	۱۰۹۰۰	۶۴۹۰۰	۳۹۸۰۰	۵
۰۷۳۰۰	۱۵۲۰۰	۲۵۳۰۰	۱۰۷۰۰	۵۲۳۰۰	۵۸۸۰۰	۱۰۰	۱۳۴۰۰	۱۷۷۰۰	۰۷۶۰۰	۲۹۰۰۰	۰۰۲۰۰	۶
۳۲۶۰۰	۰۴۲۰۰	۰۴۲۰۰	۰۵۶۰۰	۴۷۱۰۰	۶۶۴۰۰	۱۲۹۰۰	۲۵۲۰۰	۱۱۷۰۰	۳۰۷۰۰	۳۷۸۰۰	۴۱۴۰۰	۷
۳۵۵۰۰	۰۲۴۰۰	۰۴۵۰۰	۱۰۸۰۰	۳۶۱۰۰	۴۲۶۰۰	۳۲۹۰۰	۱۹۹۰۰	۱۳۸۰۰	۲۳۸۰۰	۲۲۴۰۰	۳۴۶۰۰	۸
۳۲۰۰۰	۳۰۵۰۰	۴۷۶۰۰	۶۰۵۰۰	۶۶۱۰۰	۶۵۵۰۰	۳۶۰۰۰	۳۵۹۰۰	۲۲۲۰۰	۶۰۹۰۰	۵۳۹۰۰	۳۹۳۰۰	۹
۰۳۱۰۰	۰۵۸۰۰	۰۴۷۰۰	۲۱۸۰۰	۱۶۵۰۰	۱۳۸۰۰	۰۶۵۰۰	۱۲۹۰۰	۰	۱۹۲۰۰	۱۵۸۰۰	۱۰۲۰۰	۱۰
۲۰۷۰۰	۱۸۴۰۰	۱۵۷۰۰	۱۹۷۰۰	۰۰۹۰۰	۱۱۶۰۰	۰۲۲۰۰	۲۴۳۰۰	۲۳۳۰۰	۰۸۸۰۰	۲۲۶۰۰	۱۳۰۰۰	۱۱
۴۶۷۰۰	۴۲۵۰۰	۴۰۲۰۰	۴۶۷۰۰	۲۶۳۰۰	۳۷۷۰۰	۳۵۴۰۰	۴۰۲۰۰	۳۹۱۰۰	۴۹۷۰۰	۵۷۰۰۰	۴۶۰۰۰	۱۲

۰/۰۱ همبستگی معنی داری در سطح

۰/۰۵ همبستگی معنی داری در سطح

۰/۷۰۸ و ضعیف‌ترین ارتباط معنی داری با الگوی مربوطه متعلق به ایستگاه میانه در ماه سپتامبر با ضریب همبستگی مشابه ۰/۴۴۴ است. همان‌طور که در شکل شماره ۲ مشاهده می‌شود، جهت همبستگی ایستگاهها با الگوی SOI به صورت مستقیم و مثبت است.

۶- با توجه به مقادیر به دست آمده جدول شماره ۵ مشاهده می‌شود، به جز ایستگاههای ماکو، جلفا، مریوان، زرینه و خدابنده، کلیه ایستگاههای ارتباط معنی داری را با تأخیر از خود نشان دادند. قوی‌ترین ارتباط معنی داری مربوط به ایستگاه خلخال در ماه می با ضریب همبستگی

جدول ۵. ضرایب همبستگی الگوی پیوند از دور SOI با دمای ماهانه شمال غرب ایران (منبع نگارندگان)

تبریز	سراب	سراوه	میانه	مراغه	جلفا	اهر	تابک	سردشت	پیرانشهر	ارومیه	ماکو	مهاباد	خوی	M
۰۲۹۰۰	۰۱۶۰۰	۱۷۱۰۰	۰۵۹۰۰	۰۲۷۰۰	۰۵۰۰۰	۰۸۸۰۰	۰۸۲۰۰	۰۸۲۰۰	۰۳۳۰۰	۱۰۹۰۰	۰۶۶۰۰	۰۸۴۰۰	۱	
۲۹۴۰۰	۲۱۸۰۰	۳۷۶۰۰	۳۲۰۰۰	۲۵۰۰۰	۲۴۹۰۰	۳۷۰۰۰	۴۹۱۰۰	۲۹۸۰۰	۲۷۶۰۰	۳۲۵۰۰	۲۷۵۰۰	۲۵۱۰۰	۲	
۱۹۲۰۰	۱۷۲۰۰	۳۰۸۰۰	۲۱۵۰۰	۳۲۷۰۰	۲۲۴۰۰	۲۷۲۰۰	۲۳۴۰۰	۱۹۵۰۰	۲۱۵۰۰	۲۹۵۰۰	۱۸۵۰۰	۲۶۴۰۰	۳	
۳۴۵۰۰	۳۰۹۰۰	۲۰۰۰۰	۳۸۰۰۰	۲۲۳۰۰	۲۱۳۰۰	۲۳۴۰۰	۳۷۸۰۰	۳۷۶۰۰	۳۰۳۰۰	۱۶۱۰۰	۳۹۲۰۰	۲۳۲۰۰	۴	
۰۴۹۶۰	۵۴۹۰۰	۴۶۳۰۰	۵۶۹۰۰	۲۶۹۰۰	۲۳۳۰۰	۴۶۹۰۰	۵۸۱۰۰	۵۹۹۰۰	۴۷۶۰۰	۶۷۶۰۰	۴۳۲۰۰	۵		
۲۷۸۰۰	۲۸۹۰۰	۲۱۹۰۰	۲۳۷۰۰	۱۶۱۰۰	۲۴۸۰۰	۰۵۷۰۰	۲۱۷۰۰	۲۶۶۰۰	۱۶۶۰۰	۱۱۳۰۰	۲۴۷۰۰	۲۲۱۰۰	۶	
۳۳۷۰۰	۳۸۷۰۰	۲۹۵۰۰	۳۹۴۰۰	۲۹۶۰۰	۵۲۶۰۰	۴۰۱۰۰	۳۷۰۰۰	۱۶۲۰۰	۴۴۹۰۰	۴۲۴۰۰	۴۱۷۰۰	۴۶۶۰۰	۷	
۲۴۹۰۰	۲۲۹۰۰	۲۱۱۰۰	۳۶۴۰۰	۰۷۷۰۰	۲۲۷۰۰	۰۸۵۰۰	۴۰۳۰۰	۲۱۷۰۰	۱۸۵۰۰	۲۲۲۰۰	۴۱۴۰۰	۲۵۲۰۰	۸	
۳۷۲۰۰	۳۵۸۰۰	۴۴۴۰۰	۳۷۵۰۰	۱۹۴۰۰	۲۷۵۰۰	۴۰۸۰۰	۴۲۶۰۰	۲۸۳۰۰	۳۳۴۰۰	۲۷۸۰۰	۴۱۰۰۰	۳۱۶۰۰	۹	
-۰۸۲۰۰	-۰۵۹۰۰۰	-۰۵۱۰۰۰	-۰۱۱۰۰	-۰۷۷۰۰۰	-۰۸۷۰۰۰	-۰۱۹۰۰۰	-۱۷۷۰۰	-۱۶۵۰۰	-۱۳۵۰۰	-۰۹۰۰۰	-۰۴۱۰۰۰	-۰۲۳۰۰۰	۱۰	
۲۵۲۰۰	-۰۴۸۰۰	۱۵۱۰۰	۲۶۶۰۰	۲۲۷۰۰	۱۴۹۰۰	۱۵۲۰۰	۵۰۳۰۰	۳۴۲۰۰	۱۴۷۰۰	۳۳۹۰۰	۱۸۴۰۰	۲۲۵۰۰	۱۱	
۲۵۶۰۰	۲۳۳۰۰	۱۶۷۰۰	۳۱۹۰۰	۳۳۱۰۰	۳۳۲۰۰	۲۶۷۰۰	۴۷۹۰۰	۳۷۴۰۰	۲۱۹۰۰	۳۴۴۰۰	۲۷۰۰۰	۲۹۸۰۰	۱۲	
اردبیل														
خدابنده														
۱۹۱۰۰	۰۶۲۰۰	-۰۳۵۰۰	-۰۲۰۰۰	۱۲۵۰۰	۱۸۵۰۰	۱۵۶۰۰	۱۲۲۰۰	۱۲۳۰۰	۱۹۶۰۰	-۰۵۲۰۰	-۰۷۰۰۰	۱		
۱۲۱۰۰	۳۶۴۰۰	۳۹۳۰۰	۲۴۱۰۰	۳۲۲۰۰	۲۸۵۰۰	۲۶۴۰۰	۳۳۲۰۰	۲۴۹۰۰	۲۴۱۰۰	۳۴۷۰۰	۳			
۲۲۲۰۰	۲۹۵۰۰	۲۷۸۰۰	۲۴۴۰۰	۲۲۸۰۰	۱۶۰۰۰	۱۹۵۰۰	۲۹۶۰۰	۲۸۹۰۰	۲۸۹۰۰	۲۷۷۰۰	۲۸۴۰۰	۳		
۰۸۲۰۰	۲۷۰۰۰	۳۶۹۰۰	۱۵۱۰۰	۳۲۰۰۰	۳۵۴۰۰	۱۴۵۰۰	۱۶۴۰۰	۱۸۷۰۰	۱۸۷۰۰	۰۶۳۰۰	۴۱۲۰۰	۰۰۰۰۰	۴	
۴۴۹۰۰	۵۷۹۰۰	۶۹۸۰۰	۲۶۲۰۰	۵۶۶۰۰	۶۶۷۰۰	۱۱۳۰۰	۴۷۴۰۰	۵۰۴۰۰	۰۵۲۰۰	۷۰۸۰۰	۲۲۴۰۰	۵		
۱۹۱۰۰	۲۲۱۰۰	۱۸۵۰۰	۲۵۱۰۰	۱۰۰	۲۴۵۰۰	۲۰۷۰۰	۰۶۷۰۰	۱۰۰	۳۰۶۰۰	۲۸۸۰۰	۲۴۷۰۰	۶		
۰۴۰۰۰	۲۰۹۰۰	۱۵۶۰۰	۲۱۹۰۰	۵۸۶۰۰	۵۲۶۰۰	۲۴۹۰۰	۰۱۰۰۰	۱۰۴۰۰	۴۹۹۰۰	۲۷۹۰۰	۰۴۷۹۰۰	۷		
۲۰۷۰۰	-۰۸۷۰۰	۱۴۲۰۰	-۰۴۴۰۰	۳۸۵۰۰	۳۷۳۰۰	-۰۹۸۰۰	-۰۶۷۰۰	-۰۵۷۰۰	-۰۸۴۰۰	۱۴۱۰۰	۲۴۱۰۰	۸		
۳۲۹۰۰	۲۸۴۰۰	۳۳۸۰۰	۳۸۳۰۰	۵۰۵۰۰	۵۲۸۰۰	۲۲۳۰۰	۲۷۴۰۰	۲۳۴۰۰	۳۱۳۰۰	۴۵۶۰۰	۳۲۹۰۰	۹		
-۰۵۳۰۰	-۰۴۷۰۰	-۰۵۷۰۰	۱۶۵۰۰	-۰۵۴۰۰	-۰۵۰۰۰	-۰۵۰۰۰	۲۹۸۰۰	۰۶۸۰۰	-۰۳۵۰۰	۱۶۰۰۰	۱۶۳۰۰	-۰۰۷۰۰	۱۰	
۲۱۶۰۰	۱۶۱۰۰	۱۲۵۰۰	۲۱۵۰۰	۱۲۰	۲۳۹۰۰	۱۴۰	۲۸۵۰۰	۲۵۸۰۰	۲۴۱۰۰	۳۲۶۰۰	۲۲۷۰۰	۱۹۰	۱۱	
۲۸۲۰۰	۳۱۱۰۰	۲۷۱۰۰	۳۸۱۰۰	۱۶۲۰۰	۲۷۶۰۰	۲۸۵۰۰	۲۵۸۰۰	۲۴۱۰۰	۳۲۶۰۰	۴۰۹۰۰	۳۵۲۰۰	۱۲		

۰/۰۱ همبستگی معنی داری در سطح

۰/۰۵ همبستگی معنی داری در سطح

مشابه ۴۴۵/۰ است. در ماههای ژانویه، فوریه، آوریل، سپتامبر، نوامبر و دسامبر هیچ‌گونه ارتباط معنی‌داری در مقادیر همبستگی ایستگاههای شمال غرب ایران و الگوی EP/NP نشان داده نشد.

همان‌طور که در شکل شماره ۲ مشاهده می‌شود، جهت همبستگی ایستگاهها با الگوی EP/NP منفی است.

۷- جدول شماره ۶ نشان می‌دهد که به جز ایستگاههای پارس‌آباد و خدابنده، کلیه ایستگاههای ارتباط معنی‌دار در یک تا سه ماه از خود نشان دادند. قوی‌ترین ارتباط معنی‌داری مربوط به ایستگاه زنجان در ماه می با ضریب همبستگی ۶۵۳/۰ و ضعیف‌ترین ارتباط معنی‌داری با الگوی مربوط متعلق به ایستگاه ارومیه، مراغه و خرمدره به ترتیب در ماههای می، مارس و می با ضریب همبستگی

جدول ۶. ضرایب همبستگی الگوی پیوند از دور EP/NP با دمای ماهانه شمال غرب ایران

تیریز	سراب	میانه	مراغه	جلفا	اهر	تکاب	سردشت	پیرانشهر	ارومیه	ماکو	مهاباد	خوی	M
a	a	a	a	a	a	a	a	a	a	a	a	a	1
۱۰۵...	۱۷...	۱۶۱...	۱۲۴...	۰۵۱...	۱۸۵...	۱۳۷...	۲۵۱...	-۰۴۵...	۰۱۱...	۱۱۷...	-۰۶۱...	۱۰۸...	۲
*۴۸۵...	*۴۵۶...	*۴۶۳...	*۴۴۵...	*۵۵۷...	*۴۷۰...	*۴۷۹...	*۴۴۸...	۴۰۸...	*۴۸۵...	*۵۲۱...	۴۲۴...	*۴۸۴...	۳
۳۶۶...	۲۹۴...	۱۹۶...	۴۲۴...	۱۸۴...	۱۵...	۲۹۲...	۴۲۸...	۴۱۲...	۲۹۵...	۲۰۳...	۲۲۸...	۲۰۹...	۴
*۴۸۲...	**۵۷۴...	۳۵۱...	*۵۳۶...	۱۵۷...	۳۴۴...	۳۶۵...	*۵۲۳...	*۴۶۹...	*۴۴۵...	۳۱۹...	**۵۶۴...	۴۳۲...	۵
۳۹۵...	۳۲۶...	۲۶...	*۴۴۸...	۲۳۱...	۲۵۵...	*۵۳۴...	۴۳۲...	۴۳۴...	*۴۷۰...	۳۸۷...	*۴۶۲...	۴۱۷...	۶
...	۷۶...	۳۱۸...	-۰۴۵...	-۰۳۱...	۱۶۹...	۳۳۵...	-۰۹۷...	۱۱۳...	۱۸۲...	-۰۹۶...	۱۰۱...	۱۰۴...	۷
۳۸۷...	۳۸۲...	۱۹۱...	*۴۹۵...	*۴۷۱...	۴۲۶...	۱۱۷...	*۴۶۰...	۴۱۲...	**۵۶۴...	*۵۰۷...	**۶۳۸...	**۵۸۳...	۸
۲۴۲...	۲۲۶...	-۰۹۸...	۳۳...	-۰۹۵...	-۰۳۰...	۲۹۸...	۲۳...	۱۲۳...	۱۹۸...	۱۱۱...	۲۴۸...	۲۸۲...	۹
**۵۶۴...	*۴۵۲...	۳۷۱...	*۵۲۲...	۴۰۶...	۳۸۸...	۲۲۸...	۳۱۷...	۳۲۴...	۳۶۶...	*۴۹۲...	*۵۳۲...	*۵۴۳...	۱۰
۳۱۷...	۳۲۹...	۳۹۶...	۳۱۴...	۳۰۳...	۳۲۲...	۳۸۹...	۲۷...	۲۳...	۳۷۶...	۲۹۹...	۳۷۶...	۳۹۵...	۱۱
...	۱۳۸...	-۰۶۴...	۰۰۲...	-۰۳۸...	۱۳۳...	۱۴۷...	-۰۰۵...	-۰۵۴...	-۰۰۶...	-۰۱۵...	-۰۲۲...	-۰۸۵...	۱۲
خدابنده	خرمده	زنجان	زوبنده	سنندج	سقز	مریوان	قووه	بیجار	پارس	خلخال	اردبیل	M	
a	a	a	a	a	a	a	a	a	a	a	a	a	۱
۱۵۱...	۱۵...	۱۳۷...	-۰۸۸...	-۰۱۱...	-۰۱۸...	-۰۰۵...	-۰۶۱...	-۰۰۹...	۲۸...	۲۷۵...	۲۷۴...	۲۷۴...	۲
۳۵۳...	*۵۲۹...	*۴۶۰...	*۴۴۸...	۴۲۲...	۳۴۷...	۳۷۳...	۴۳۳...	*۴۵۲...	-۰۶۲...	*۵۲۵...	۴...	۳	
۲۴۱...	۲۱۶...	۳۶۴...	۳۱۷...	۳۹۹...	۲۵۳...	۲۳۹...	۳...	۳۷۹...	۱۵۴...	۳۴۱...	۱۹۳...	۴	
۳۵۲...	*۴۴۵...	**۶۳۰...	*۴۵۶...	**۵۸۱...	*۵۱۳...	۲۵۶...	۴۱۱...	*۴۵۸...	۱۳۹...	*۵۶...	۴۴۳...	۵	
۴۰۹...	۲۱۷...	-۰۴۷...	**۵۶۹...	*۴۷۴...	۴۲۲...	**۶۱۷...	*۵۱۷...	*۵۳۸...	۱۷۴...	۴۱۱...	-۰۶۶...	۶	
۲۸۴...	۳۱۵...	-۰۰۳...	۱۵۶...	-۰۰۸...	۱۷...	-۱۱۸...	۲۲...	۲۴۵...	۱۴۷...	۲۱۶...	-۰۵۴...	۷	
-۰۷...	۲۰۹...	۳۹۸...	۱۳۸...	-۰۰۳...	-۰۰۴...	-۰۵۳...	-۰۵...	-۱۶۶...	۱۷۹...	۳۹۲...	-۰۰۳...	۴۰۴...	۸
۲۱۵...	-۰۸۵...	۲۷۲...	-۰۵۶...	-۰۴۲...	-۰۳۵...	-۰۲۶...	-۰۲۶...	-۰۱۰...	-۰۱۰...	-۰۳۴...	۲۲۱...	۲۲۶...	۹
۲۵...	۲۱۶...	*۴۴۶...	۲۳۷...	۱۴۸...	۴۳۶...	-۰۵۱...	۲۳۵...	۲۹۷...	۳۵۴...	۴۲...	*۴۵۸...	۱۰	
۲۷۶...	۴۰۴...	۳۵۹...	۲۲۲...	۳۱۲...	۳۵۹...	۲۲...	۳۳۷...	۳۵۱...	۳۰۹...	۴۲۱...	۳۸۱...	۱۱	
...	-۰۳۲...	-۰۹۱...	-۰۶۳...	-۰۶...	-۰۵۸...	-۰۲۲...	-۰۲۲...	-۰۴۲...	-۰۲۳...	-۰۴۴...	۱۲۳...	۱۶۵...	۱۲

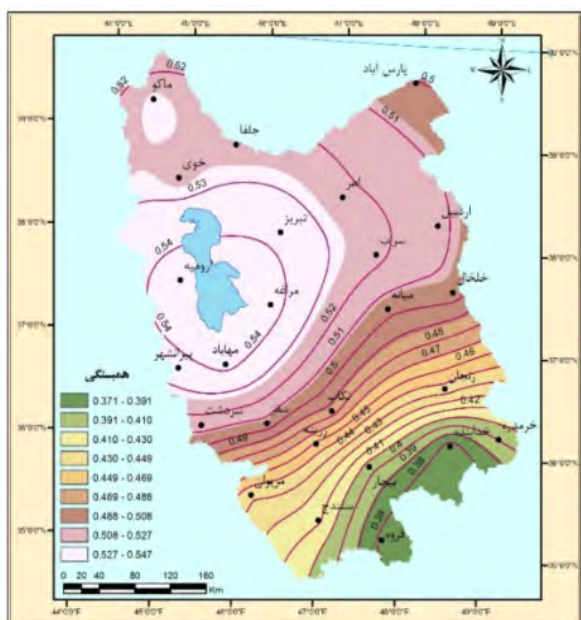
\* همبستگی معنی‌داری در سطح ۰/۰۱

\*\* همبستگی معنی‌داری در سطح ۰/۰۵

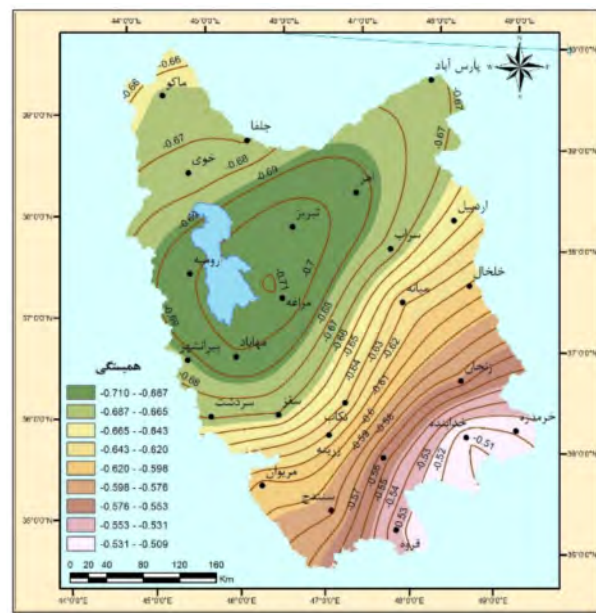
(منبع نگارنده‌گان)

GIS) با ایستگاههای شمال غرب ایران که در محیط با روش درون‌یابی کریجینک پهنه‌بندی و ترسیم شده است.

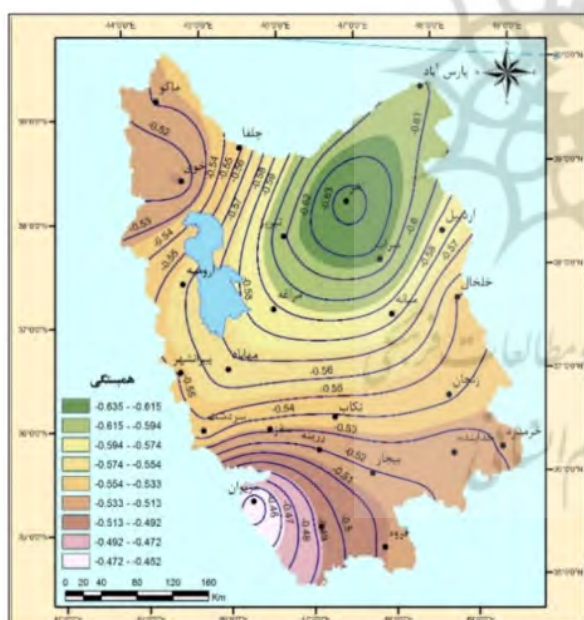
در شکل شماره ۲، نقشه ضریب همبستگی تأثیرگذارترین الگو (EA/WR) را با دمای شمال غرب ایران و در شکل شماره ۳، چهار الگوی تأثیرگذار (EP/NP, SOI, MEI و



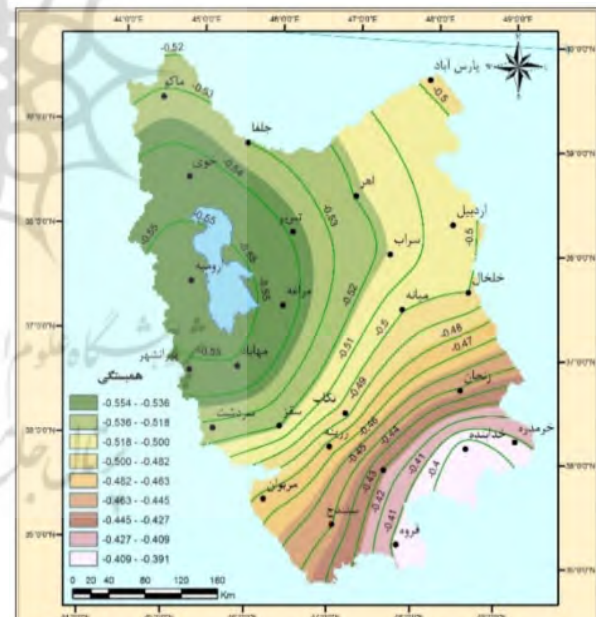
ب) الگوی SOI



شکل ۲. نقشه ضرایب همبستگی الگوی پیوند از دور (EA/WR) با دمای سالانه شمال غرب ایران (منبع نگارندگان)



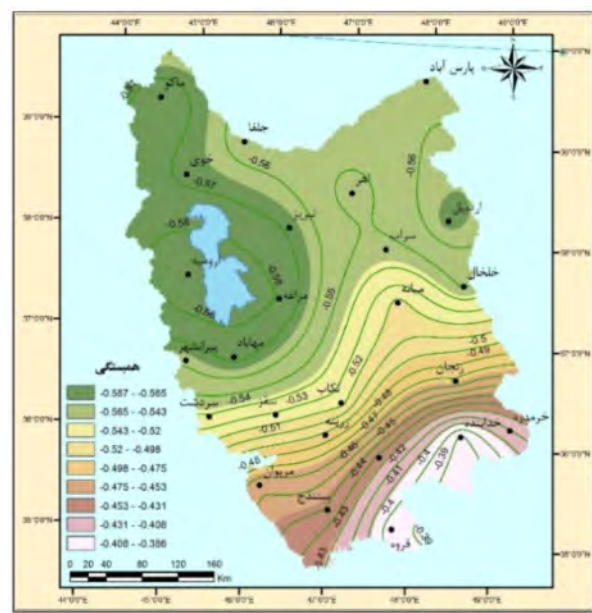
ج) الگوی AO



الف) الگوی EPNP

### نتیجه‌گیری

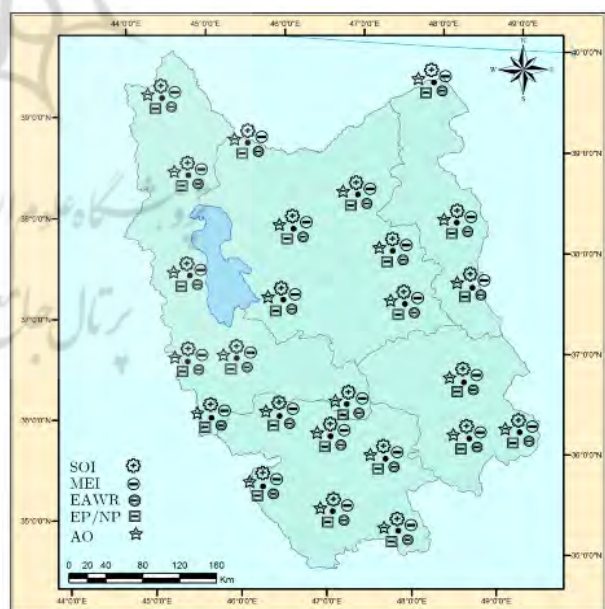
دما از مهمترین پارامترهای هواشناسی در تعیین نقش و پراکندگی سایر عناصر اقلیمی و نیز از شاخصهای مهم در طبقه‌بندی اقلیمی به شمار می‌رود و اثرات انکارناپذیری بر فعالیت‌های انسانی و به خصوص در زمینه کشاورزی دارد. در این پژوهش، ارتباط دماهای ماهانه ۲۴ ایستگاه شمال غرب ایران با هفده الگوی پیوند از دور با استفاده از روش همبستگی پیرسون بررسی شد. یافته‌های تحقیق نشان می‌دهد که در بین تأخیرهای زمانی ۱ ماهه و ۲ ماهه و ۳ ماهه بیشترین همبستگی متعلق به تأخیر زمانی ۱ ماهه است. در این بین ضرایب همبستگی هفده الگوی پیوند از دور با دمای ماهانه ۲۴ ایستگاه شمال غرب ایران، تأثیرگذارترین الگوهای پیوند از دور بر دمای منطقه، الگوی EA/WR با بیشترین میزان تأثیرگذاری است که بیشترین همبستگی معنی‌داری با دمای منطقه را خود نشان داده است و همچنین الگوهای AO, SOI, MEI, EA/WR, EP/NP در رتبه‌های دیگر از تأثیرگذارترین الگوها قرار دارند. در این بین، رابطه مقادیر همبستگی الگوهای SOI, AO, MEI, EA/WR, EP/NP به صورت مستقیم و مثبت و الگوی AO به صورت همبستگی منفی بر دمای منطقه تأثیرگذار بوده است؛ این بدان معنی است که در سال‌های النینو دمای شمال غرب به صورت معنی‌داری گرم‌تر و در سال‌های لانینا سردتر از معمول است. غلبه جریانات جنوبی در سال‌های النینو و ایجاد موج‌های گرمایی از دلایل این ناهنجاری‌های دمایی است. این نتایج، نظر محققان قبلی نظیر خسروی و همکاران (۱۳۸۶)، خسروی (۱۳۸۳)، صلاحی و همکاران (۱۳۸۶) و ناظم‌السادات و همکاران (۱۳۸۶) را در ارتباط با تأثیرپذیری دمای ایران از الگوهای پیوند از دور بهویژه پدیده انسو تأیید می‌کند. از نظر زمانی، بیشترین رابطه الگوی EA/WR در ماههای فوریه و مارس و سپتامبر، الگوی MEI در ماههای می و سپتامبر، الگوی SOI مربوط به ماههای می و جولای و الگوی EP/NP در ماههای مارس و می با دمای منطقه مشاهده شد. این متغیرها می‌تواند برای مطالعات مدل‌سازی و پیش‌بینی دمای منطقه شمال غرب ایران، ورودی‌های مناسبی را فراهم کند.



د) الگوی MEI

شکل ۳. نقشه ضریب همبستگی الگوهای AO با دمای سالانه شمال غرب ایران (منبع نگارندگان)

در این بین الگوهای AO, MEI, EP/NP, EA/WR و دارای همبستگی مثبت و الگوی SOI دارای همبستگی منفی است (شکل ۴)



شکل ۴. نقشه رابطه مستقیم و معکوس ۵ الگوی پیوند از دور تأثیرگذار با دمای سالانه شمال غرب ایران (منبع نگارندگان)

## منابع

- Bojariu, L, Gimeno, R (2004), Predictability and Numerical Modeling of the North Atlantic Oscillation, *Earth Science Reviews*, Vol. 76, pp. 145-168.
- Chowdary, J. S; Shang-Ping, Xie; Hiroki, Tokinaga; Yuko M, Okumura; Hisayuki, Kubota; Nat, Johnson; Xiao-Tong; Zheng. (2012), Interdecadal Variations in ENSO Teleconnection to the Indo-Western Pacific for ۱۸۷۰-۲۰۰۷, *journal of climate*, Vol 25, Issue 5, pp.1722-1744.
- Cinita, B. (2003), Analysis and regionalization of Northern European Winter Precipitation based on its relationship with the North Atlantic Oscillation. *International Journal Climate*. 23: 1185-1194.
- Fang, X., Wang, A., Fong, S. K., Lin, W. and J. Liu.2008. Changes of reanalysis-derived Northern Hemisphere summer warm extreme indices during 1948–2006 and links with climate variability. *Global and Planetary Change*, 63: 67–78.
- Gang, Huang; Kaiming, Hu; Shang-Ping, Xie, (2010). Strengthening of Tropical Indian Ocean Teleconnection to the Northwest Pacific since the Mid-1970s: An Atmospheric GCM Study, *Journal of Climate*,Vol 23, 5294-5304.
- Jovanovich, G, Relijin, I; Relijin, B(2008), The influence of Arctic and North Atlantic Oscillation on Precipitation on regime Serbia, *Earth and Environmental*, Vol 4, NOM 1, pp. 1307-1755.
- Lind, G.P., Mora, A., Haase, M., Gallas, J.A.C. (2007), Minimizing Stochasticity in the NAO index. *International Journal of Bifurcation and Chaos*. 17: 3461-3466.
- Nicolls, N., and Katz, R.W. (1991). Teleconnections and their implications for long-range forecasts' Glantz, M. H. (ed) *Teleconnections Linking Worldwide Climate Anomalies* New York: Cambridge University Press,pp 511-527.
- Sheridan, Scott C. (2003), North American Weather-Type Frequency and Teleconnection Indices, *International Journal of Climatology*, Vol 23, pp.27-45.
- Trigo, M.R, Zezere, J.L, Rodrigues, M.L, Trigo, I.F(2005), The Influence of the North Atlantic Oscillation on Rainfall Triggering of Landslides near Lipson, *Natural Hazards*, Vol. 36, pp. 331-354.
- Turkes, M, ErLat, E (2005), Climatological responses of winter Precipitation in Turkey to variability of the North Atlantic Oscillation during the period 1030-2001, *Theoretical and Applied Climatology*, Vol. 78, pp. 33-46.
- Wallace, J. M. and D. S. Guzzler. 1981. Teleconnections in the geopotential height field during the northern hemisphere winter. *Monthly weather Review*, 109: 784-812.
- Yuyun, Liu; Lin, Wang; Wen, Zhou; Wen, Chen, (2014). Three Eurasian teleconnection patterns: spatial structures, temporal variability, and associated winter climate anomalies. *Climate Dynamics*, Vol 42, Issue 11-12, pp 2817-2839.
- خسروی، محمود (۱۳۸۳). بررسی روابط بین الگوهای چرخش جوی کلان مقیاس نیمکره شمالی با خشکسالی‌های سالانه سیستان و بلوچستان. *مجله جغرافیا و توسعه*. شماره ۳. ص ۱۶۷-۱۸۸.
- خسروی، محمود؛ کریمی خواجه‌لنگی، صادق؛ نجارسلیقه، محمد (۱۳۸۶). ارتباط شاخص نوسان قطبی با نوسان‌های دمایی (مطالعه موردی: ایستگاه شهرکرد)، *مجله جغرافیا و توسعه*. دوره ۵، شماره ۹. ص ۱۲۵-۱۳۶.
- خسروی، محمود (۱۳۸۴) بررسی اثر الگوهای دورپیوند بر خشکسالی‌های فراغیر زمستانه استان سیستان و بلوچستان، *مجله جغرافیا و توسعه ناحیه‌ای*. شماره ۴، ص ۵۵-۵۷.
- خورشیددوست، محمدعلی؛ قویدل‌رحمی، یوسف؛ عباس‌زاده، کمال (۱۳۸۹). کاربرد الگوهای کلان مقیاس جوی - اقیانوسی در تحلیل نوسانات بارش (مطالعه موردی: ایستگاه اهر). *مجله فضای جغرافیایی*. شماره ۲۹. ص ۹۵-۱۲۸.
- خوش‌اخلاق، فرامرز؛ قنبری، نوذر؛ معصوم‌پور‌سماکوش، جعفر (۱۳۸۶). مطالعه اثرات اطلس شمالی بر رژیم بارش و دمای سواحل جنوبی دریای خزر. *فصلنامه پژوهش‌های جغرافیایی*. شماره ۶۶، ص ۵۷-۷۰.
- صلاحی، برومند؛ علی‌محمد، خورشیددوست؛ قویدل‌رحمی، یوسف، (۱۳۸۶). ارتباط نوسان‌های گردش جوی اقیانوسی اطلس شمالی با خشکسالی‌های آذربایجان شرقی. *مجله پژوهش‌های جغرافیایی*. شماره ۶۰. ص ۱۴۷-۱۵۶.
- علیجانی، بهلول (۱۳۸۱). *اقليم‌شناسی سینوپتیک*. انتشارات سمت. چاپ چهارم. تهران.
- غیور، حسنعلی؛ حسین، عساکر (۱۳۸۱)، بررسی اثر نوسانات اطلس شمالی و نوسانات اطلس جنوبی بر تغییرات میانگین ماهانه دمای جاسک. *فصلنامه تحقیقات جغرافیایی*. شماره ۶۴، ص ۱۱۳-۹۳.
- قائمه‌نگ، هوشنگ؛ حسین، عساکر (۱۳۸۲). تحلیلی آماری بر روند تغییرات دمای مشهد طی سده گذشته و رابطه آن با نوسان‌های اطلس شمالی. *فصلنامه تحقیقات جغرافیایی*. شماره ۷۱، ص ۱۳۳-۱۱۶.
- ناظم‌السادات، سید‌محمد‌جعفر؛ انصاری‌بصیر، ارمغان؛ پیشوایی، محمدرضا (۱۳۸۶). ارزیابی سطح معنی داری برای پیش‌بینی دوران خشکسالی و تراسالی فصل پاییز و ششم‌ماهه سرد ایران براساس وضعیت فازهای تابستانه ENSO *مجله تحقیقات منابع آب ایران*. شماره ۱. ص ۲۴-۱۲.
- یاراحمدی، داریوش؛ عزیزی، قاسم (۱۳۸۶). تحلیل چند متغیره ارتباط میزان بارش فصلی ایران و شاخص‌های اقلیمی. *مجله پژوهش‌های جغرافیایی* دانشگاه تهران. شماره ۶۴، ص ۱۷۴-۱۶۱.